

## 平衡海浜形状の定式化に関する研究

鳥取大学大学院 学生員○野田和久

日本テトラポッド 正員 福富新吾

鳥取大学工学部 正員 野田英明

1. まえがき：波動水槽において、一様勾配の初期海浜に一定の特性をもつ波を作用させると、海浜は漸次変形し、ある時間以後、砂の移動は見られるが海浜の断面形状はほとんど変化しない平衡海浜となる。平衡海浜形状は大きく二つに分類され、一つは段(Step)によって特徴づけられる堆積型であり、もう一つは沿岸砂州(Bar)が発達する侵食型である。本研究は、従来のSwarzの考え方を改良し、平衡断面形状の定式化を試み、さらに実験結果と比較し検討する。

2. 定式化：図-1に示すように沖側の海浜変形開始点を原点とし、水平岸向きたX軸、鉛直上向きにZ軸をとる。岸側の海浜変形終点および静水面における座標を、それぞれ $(X_0, Z_0)$ 、 $(X_r, Z_r)$ とし、面積 $\text{ed}$  = 面積 $oeh$ となるような $e$ の長さを $Z_1$ 、面積 $eagf$  = 面積 $eabh$ となるような $ag$ の長さを $Z_2$ とする。さらに、 $W = Z_r - Z_1$ とすると、 $oab$ の面積 $V_e$ および $oeh$ の面積 $V_{e1}$ は、それぞれ次のように表わされる。

$$V_e = Z_1 X_0 + W(X_0 - X) \quad \dots (1) \quad V_{e1} = Z_1 X = \int_0^X Z_1 dx \quad \dots (2)$$

また、静水面における $Z_1$ および $Z_2$ の値を、それぞれ $Z_{er}$ 、 $Z_{er}$ とし、さらなる $W_r = Z_{er} - Z_{er}$ とすると、 $V_e$ は次のようく表わされる。

$$V_e = Z_{er} X_0 - W_r X_r \quad \dots (3)$$

式(1)と式(3)より次の関係が得られる。

$$Z_{er} = Z_{er} - W_r(X_r/X_0) - W\{1 - (X_r/X_0)\} \quad \dots (4)$$

さらに、式(2)と式(4)より $Z_1$ を消去すると、

$$\int_0^X Z_1 dx = X\{Z_{er} - W_r(X_r/X_0) - W\{1 - (X_r/X_0)\}\} \quad \dots (5)$$

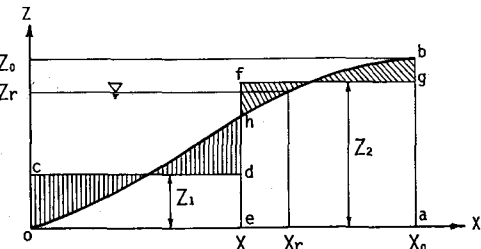


図-1

となる。上式において $X_0, X_r, W_r$ および $Z_{er}$ は、波および底質の特性によって定まる値である。Xには無関係である。そこで式(5)をXで微分し、さらに記述を簡単にするために無次元量 $Z/Z_0 = z$ ,  $W/Z_0 = w$ ,  $Z_r/Z_0 = x$ を用いると式(5)は $z = \frac{1}{2}w(1-2x)-x(1-x)\frac{dw}{dx}$   $\dots (6)$

となる。以上の結果から、wがzの関数として表現されうるならば、平衡海浜の断面形状が表現できることとなる。ところが、現状でwを決定する明確な方法がないために、実験結果および若干の仮定により式(6)およびそれに含まれるwの意味を検討する。

[侵食型] 実験結果より侵食型の海浜は、一般に図-2に示すような形状となる。この平衡海浜形状を $z = ax^3 + bx^2 + cx$   $\dots (7)$ のように仮定する。ここにa, bおよびcは未定係数であるが、i) 海浜変形終点 $z = 1$ で $x = 1$  ii) 漂砂の連続条件 $\int_0^1 z dx = \frac{1}{2}$ の2条件により式(7)は、一つの未定係数cを残して

$$z = (3-2x)x^2 + cx(2x^2 - 3x + 1) \quad \dots (8)$$

となる。上述の定義より式(8)を用いてcを計算すると

$$w = \frac{1}{2}(c-1)x^2 - \frac{1}{2}(c-1)x + \frac{1}{2} \quad \dots (9)$$

となる。

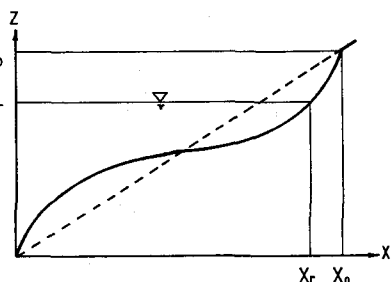


図-2

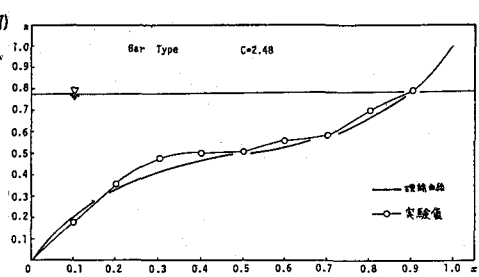


図-3

のである。この場合、両者がもつともよく一致する  $C$  の値は 2.48 であった。これより侵食型海浜の場合、波および底質の特性から係数  $C$  の値が算定できるならば、3 次曲線により平衡断面形状を表現できること、および  $\gamma$  が次の 2 次曲線となることがわかる。

[堆積型] 侵食型とは若干異なり図-4 に示すように最大堆積点を  $x=1$  とする。まず侵食型と同様に平衡海浜形状を式(7)のように仮定し、i)  $x=1$  で  $\gamma=1$  ii)  $x=1$  で最大堆積高となるので  $\frac{d\gamma}{dx}=0$  の 2 条件により未定係数は  $C$  のみとなる。

$$\gamma = (3-2x)x^2 + Cx(x^2 - 2x + 1) \quad \dots (10)$$

つきに、砂の連続条件より  $\int_0^{x_2} \gamma dx = \frac{1}{2} \beta x_2^2 \quad \dots (11)$  となる。

ここに  $x_2 = X_2/X_0$ ,  $\beta = \frac{Z_0}{Z_a} \cdot \frac{X_0}{X_2}$  である。式(10)と式(11)より  $x_2$  を消去する。

$$3(C-2)x_2^2 + 4(3-2C)x_2 + 6(C-\beta) = 0 \quad \dots (12)$$

また、式(10)に  $x=x_2$  を代入すると。

$$(C-2)x_2^2 + (3-2C)x_2 + (C-\beta) = 0 \quad \dots (13)$$

式(12)と式(13)を満足する  $C$  および  $x_2$  の値は若干の計算により

$$\left. \begin{aligned} C &= \frac{3}{2} \{ (3\beta-2) - \sqrt{9\beta^2 - 20\beta + 12} \} < 0 \\ x_2 &= -\frac{2}{3} \{ (3-2C)/(C-2) \} > 0 \end{aligned} \right\} (14)$$

となる。図-5 は、実験結果をもとに  $\beta$  を算定し計算曲線と実験結果とを比較したものである。両曲線は、かなり異なっており堆積型の場合は 3 次曲線を近似することは、困難である。

図-6 に示すように、 $Z_0 = h_{pi} + h_{pm}$  とすると、 $h_{pi}$  および  $h_{pm}$  は実験結果にもとづいて、図-7 および図-8 のように求めることができる。これらの中の直線は、算定式を表わす。また図-7 において、 $Y_{pi} = (H_0/L_0)^{-1} \sinh(2\pi h_{pi}/L_0)$  さらに  $d_{so}$  は、砂の平均粒径である。

3. おわりに： 平衡海浜の断面形状に関して以上 の定式化を試みた。侵食型に対しては係数  $C$  の算定方法、堆積型に対しては別の近似曲線の選択、さらたと の理論的根拠についてさらに検討すべき点があると考えられる。

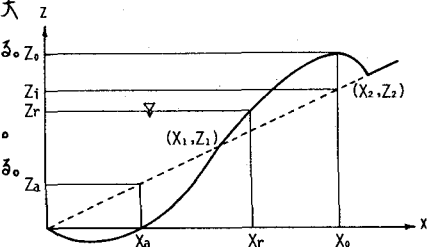


図-4

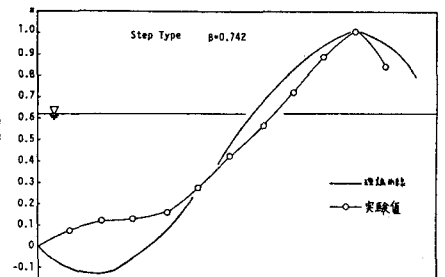


図-5

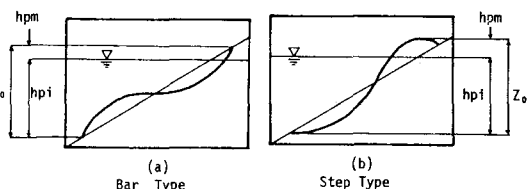


図-6

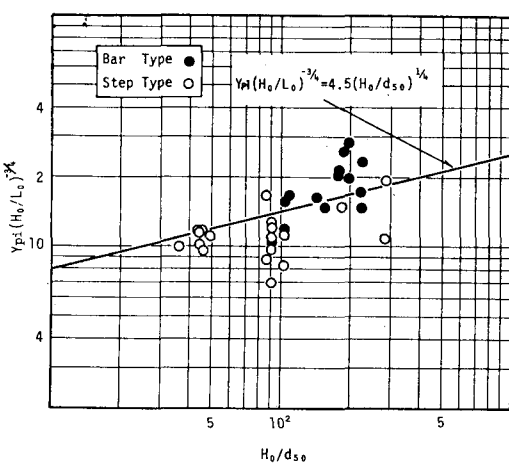


図-7

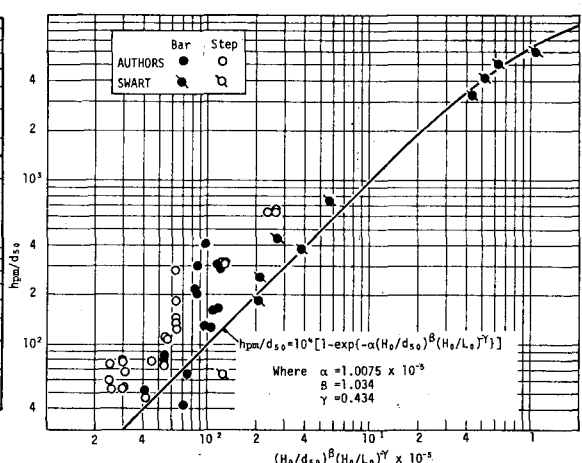


図-8